

УДК 541.6:541.49

**РЕНТГЕНОЭЛЕКТРОННЫЕ И РЕНТГЕНОСПЕКТРАЛЬНЫЕ ИССЛЕДОВАНИЯ
ЭЛЕКТРОННОЙ СТРУКТУРЫ КОМПЛЕКСОВ 6-ЯДЕРНОГО ПИВАЛАТА Mn(II,III)**

**А.Д. Федоренко¹, Л.Н. Мазалов^{1,2}, Е.Ю. Фурсова³, В.И. Овчаренко³,
А.В. Калинкин⁴, С.А. Лаврухина¹**

¹Институт неорганической химии им. А.В. Николаева СО РАН, Новосибирск, Россия
E-mail: fedorenko@niic.nsc.ru

²Новосибирский национальный исследовательский государственный университет, Россия

³Институт "Международный томографический центр" СО РАН, Новосибирск, Россия

⁴Институт катализа им. Г.К. Борескова СО РАН, Новосибирск, Россия

Статья поступила 20 февраля 2017 г.

Проведено исследование электронного строения комплексов 6-ядерного пивалата Mn(II,III) с тетрагидрофураном и изоникотинамидом методами рентгеновской фотоэлектронной спектроскопии и рентгеновской эмиссионной спектроскопии. Показано, что при замещении тетрагидрофурана изоникотинамидом спиновое состояние ионов марганца сохраняется, электронная плотность увеличивается на атомах марганца и кислорода остова $[Mn_6(O)_2Piv_{10}]$.

DOI: 10.15372/JSC20170614

Ключевые слова: РФЭС, РЭС, пивалат марганца с изоникотинамидом.

ВВЕДЕНИЕ

Повышенный интерес к синтезу и исследованию новых многоядерных соединений марганца с карбоксилатными лигандами связан с их магнитным поведением, в частности с медленной релаксацией намагниченности при низких температурах [1, 2] и, как следствие, перспективами их применения в качестве молекулярных магнетиков при создании элементов памяти [3—5]. Многоядерные соединения данного класса, такие как, например, 6-ядерный комплекс $[Mn_6(O)_2Piv_{10}(THF)_4]$, активно используются при химическом конструировании слоисто-полимерных или каркасных структур [6], в которых могут проявляться эффекты объемного кооперативного магнитного упорядочения. Использование различных мостиковых лигандов, замещающих молекулы тетрагидрофурана в соединении $[Mn_6(O)_2Piv_{10}(THF)_4]$, позволяет синтезировать соединения высокой размерности с необходимыми магнитными свойствами. Следует отметить, что остов $[Mn_6(O)_2Piv_{10}]$ практически полностью сохраняет свои структурные параметры при координации различных мостиковых лигандов [7, 8].

Использование методов рентгеновской фотоэлектронной спектроскопии (РФЭС) и рентгеновской эмиссионной спектроскопии (РЭС) позволяет получить информацию о распределении электронной плотности и взаимодействии ионов марганца с ближайшим окружением. Следует отметить, что энергия связи электронов остальных уровней металлов, а также форма соответствующих им спектров РФЭС зависит от спинового состояния иона металла [9]. Ранее проведенные РФЭС исследования [10, 11] показали, что в комплексе пивалата марганца с этанолом $[Mn_6(O)_2Piv_{10}(HPiv(EtOH)_3)] \cdot 3(EtOH)$ наблюдается перенос электронной плотности с d -орбиталей марганца на атомы пивалатных лигандов (Piv). В то же время ионы марганца находятся

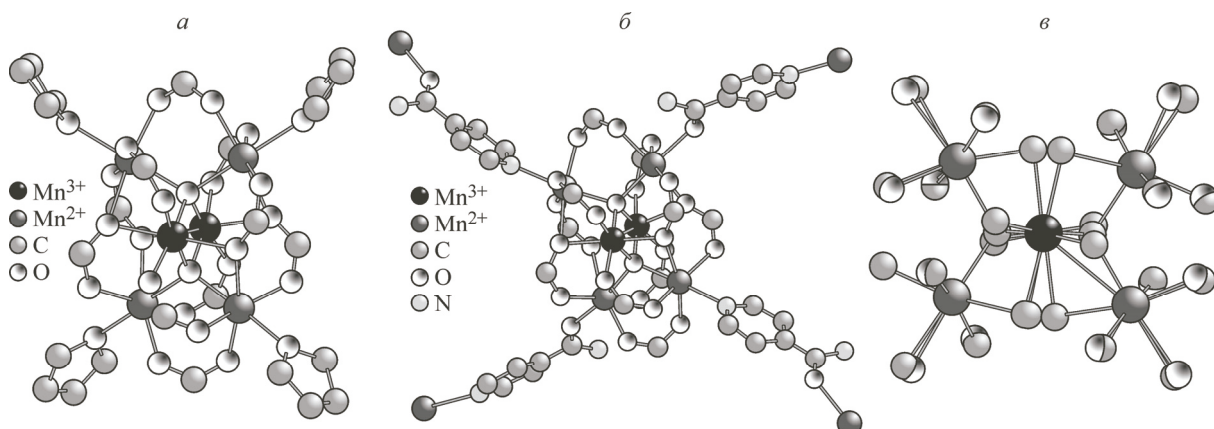


Рис. 1. Структура комплексов **1** (*а*), **2** и **3** (*б*) (атомы водорода и $\text{C}(\text{CH}_3)_2$ -фрагменты пивалатных лигандов скрыты); сопоставление структуры остова $\{\text{Mn}_6(\text{O})_2\text{O}_{24}\}$ комплексов **1** (темно-серые атомы) и **2** (светло-серые атомы) (*в*)

в двух зарядовых состояниях — Mn(II) и Mn(III), что приводит к уширению главной линии РФЭС $\text{Mn}2p_{3/2}$ -спектров, при этом в высокоэнергетической области наблюдается интенсивный сателлит, соответствующий ионам Mn(II). Как показано в работах [10, 11], интенсивность сателлитов может быть использована для качественной оценки изменения степени локализации химических связей в изучаемом ряду соединений.

В настоящей работе были проведены исследования соединений пивалата марганца (рис. 1): $[\text{Mn}_4(\text{II})\text{Mn}_2(\text{III})(\text{O})_2\text{Piv}_{10}(\text{THF})_4] \cdot \text{THF}$ (**1**), $[\text{Mn}_4(\text{II})\text{Mn}_2(\text{III})(\text{O})_2\text{Piv}_{10}\text{L}_2] \cdot 3(\text{CH}_3\text{COCH}_3)$ (**2**), $[\text{Mn}_4(\text{II})\text{Mn}_2(\text{III})(\text{O})_2\text{Piv}_{10}\text{L}_2] \cdot 2(\text{EtOAc})$ (**3**), где Piv — пивалатный лиганд $((\text{CH}_3)_3\text{CCO}_2^-$), THF — тетрагидрофуран, L — изоникотинамид, EtOAc — этилацетат. Синтез данных соединений описан в работе [12]. Замещение THF молекулами изоникотинамида, координирующегося посредством атома кислорода и гетероциклического атома азота, приводит к образованию слоистых полимеров **2** или **3**.

ЭКСПЕРИМЕНТАЛЬНАЯ ЧАСТЬ

Рентгеновские фотоэлектронные спектры были получены на спектрометре фирмы SPECS (Германия) при остаточном давлении в камере анализатора $<5 \cdot 10^{-9}$ Торр. Спектрометр оснащен полусферическим анализатором PHOIBOS-150, 9-канальным детектором электронов и источником рентгеновского характеристического излучения XR-50 с двойным Al/Mg анодом. Спектры записывали, используя немонохроматическое излучение $\text{MgK}\alpha$. Образцы комплексов закрепляли на держателе с помощью двусторонней липкой ленты. Разложение спектров проводили с помощью программы XPSpeak4.1, для вычитания фона применяли метод Ширли [13]. Детальную информацию о тонкой структуре спектров РФЭС получали из разложения спектра на компоненты, аппроксимированные суммой функций Гаусса и Лоренца. Число компонент определялось числом неэквивалентных групп атомов, входящих в молекулу, и энергетическим положением соответствующих линий, приведенных в работах [10, 11]. Точность измерения энергетического положения линий РФЭС 0,2 эВ. Для калибровки спектров РФЭС использовали C1s-линию атомов углерода CH_3 -групп с энергией связи 285,0 эВ.

Съемка рентгеновских эмиссионных спектров, описанных в настоящей работе, была осуществлена на универсальном рентгеновском спектрометре "Стеарат" [14]. $\text{MnK}\alpha,\beta$ -спектры получены при следующих условиях: режим работы трубки 10 кВ, 0,4 А; использовали кристалл-анализатор кварц (1011), $2d = 6,68 \text{ \AA}$; в качестве детектора рентгеновского излучения использовали газовый пропорциональный счетчик, рабочая газовая смесь Р-10 (90 % аргона, 10 % метана). $\text{MnL}\alpha,\beta$ - и $\text{OK}\alpha$ -спектры получены при условиях: 8 кВ, 0,4 А; RbAP, $2d = 25,8 \text{ \AA}$; метан (99,9 %). Остаточное давление в камере спектрометра $\sim 10^{-5}$ Торр.

РЕЗУЛЬТАТЫ И ИХ ОБСУЖДЕНИЕ

Несмотря на то, что по данным РСА структура остова $\{Mn_6(O)_2O_{24}\}$ комплексов **1** и **2** подобна (см. рис. 1, *в*) [12], необходимо оценить изменения электронной структуры исследуемых комплексов при замене THF на изоникотинамид. Изменения энергий связи остовых уровней как атомов лигандов, так и атомов ядра $\{Mn_6(O)_2\}$ могут быть использованы для изучения перераспределения электронной плотности и характеризации химических связей металл—лиганд.

Рентгеновские фотоэлектронные спектры. РФЭС C1s-спектры были разложены на три компоненты согласно стехиометрическому отношению атомов углерода исследуемых комплексов **1**—**3** (рис. 2). Низкоэнергетический максимум с энергией связи 285,0 эВ относится к связям C—C и C—H. Вторая компонента (285,8—286,0 эВ) соответствует атомам углерода, образующим связь C—O. Высокоэнергетический максимум (288,7—288,9 эВ) относится к атомам углерода фрагмента O—C—O пивалата.

РФЭС O1s-спектры представляют суперпозицию трех линий, относящихся к двум атомам кислорода μ_4 , к четырем атомам кислорода μ_2 и к остальным атомам кислорода, входящим в состав комплексов. При разложении спектра энергетические положения линий, отвечающих атомам кислорода μ_4 и μ_2 , совпадают, следовательно, соответствующие атомы кислорода имеют близкое зарядовое состояние. Как видно из рис. 2, для комплексов **2** и **3** линии кислорода μ_4 и μ_2 смещаются на 0,5 эВ в сторону меньших энергий, что свидетельствует об увеличении электронной плотности на этих атомах.

В РФЭС N1s-спектрах комплексов **2** и **3** наблюдаются две компоненты, которые относятся к атомам азота в составе изоникотинамида: амидный (NH_2 , энергия связи 400,6 эВ, см. рис. 2) и пиридиновый ($N=C$, энергия связи 399,5 эВ, см. рис. 2) фрагменты. Для свободного изоникотинамида энергия связи N1s-уровня фрагмента NH_2 составляет 400,1 эВ, а для фрагмента $N=C$ 399,6 эВ [15]. Энергия связи N1s-уровня амидного фрагмента в комплексах **2** и **3** увеличивается на 0,4 эВ по сравнению с некоординированной молекулой, что связано с образованием водородных связей с атомами кислорода пивалатных лигандов и сольватными молекулами этилацетата или ацетона [12].

Спектры РФЭС переходных металлов дают информацию не только о степени окисления иона металла, но и характеризуют его спиновое состояние, и могут быть использованы для

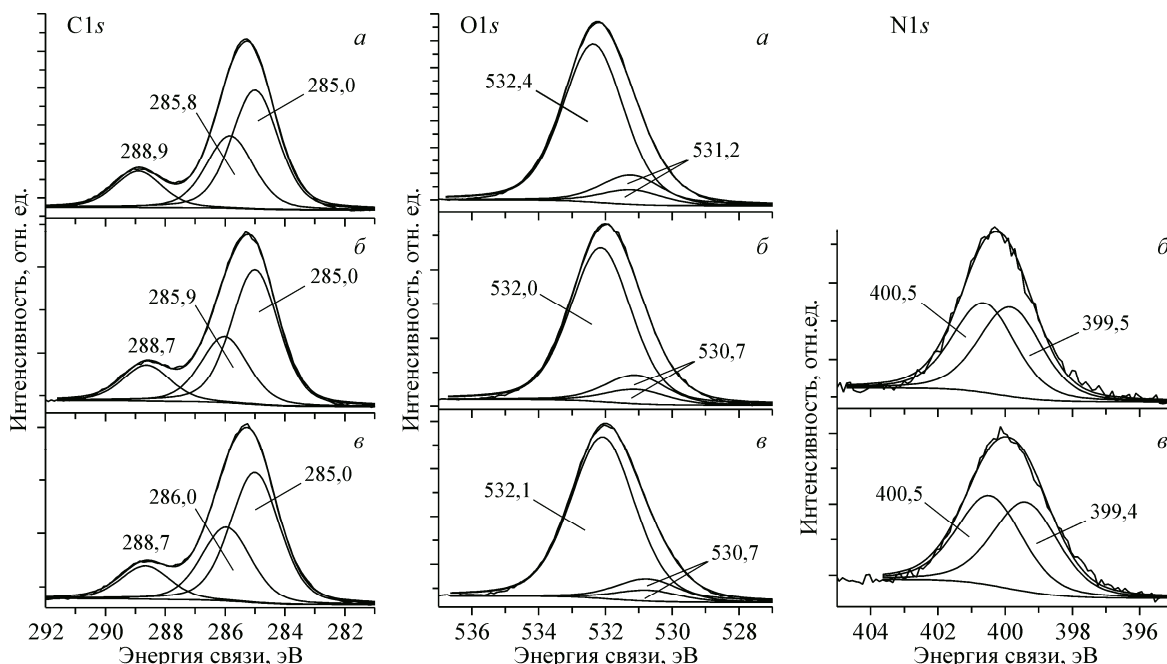


Рис. 2. РФЭС C1s-, O1s-, N1s-спектры комплексов **1** (*а*), **2** (*б*), **3** (*в*)

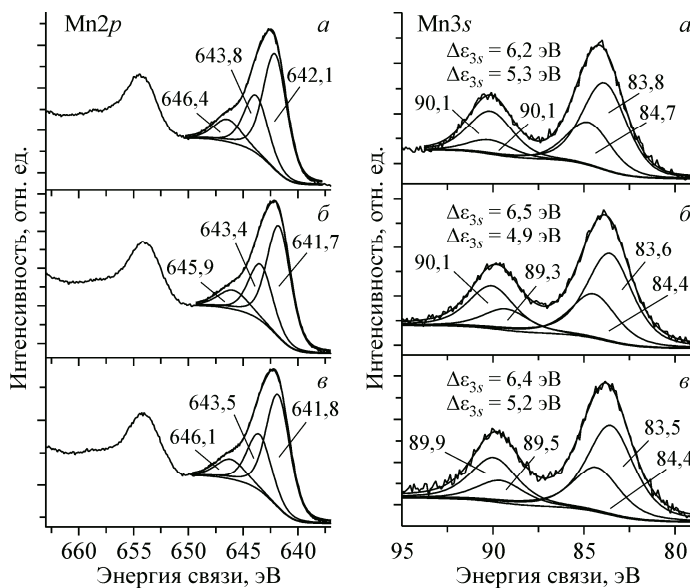


Рис. 3. РФЭС Mn^{2p} и Mn^{3s} спектры комплексов 1 (а), 2 (б), 3 (в)

исследования магнитных свойств полиядерных комплексов. Комплексы 1—3 содержат четыре терминальных иона Mn(II) и два иона Mn(III). Окружение каждого иона марганца соответствует искаженному октаэдру. Зависимости эффективного магнитного момента от температуры фактически совпадают для комплексов 1 и 2, $\mu_{\text{эфф}}$ при комнатной температуре составляет ~ 12 ВМ [12]. В данных соединениях реализуется антиферромагнитное обменное взаимодействие. Наличие ян-теллеровских ионов Mn(III), являющихся высокоспиновыми d^4 -ионами, приводит к искажению октаэдрического окружения иона марганца, при этом увеличиваются длины связей между аксиальными атомами кислорода μ_2 и ионами Mn(III). В данных соединениях наблюдаются сильное антиферромагнитное взаимодействие ионов Mn(III), входящих в центральный фрагмент $\{\text{Mn(III)}_2\text{O}_2\}$ [3].

Структура РФЭС Mn^{3s}-спектра представляет собой дублет (рис. 3), связанный с мультиплетным расщеплением, обусловленным взаимодействием внутреннего неспаренного 3s-электрона с валентными неспаренными 3d-электронами, что приводит к проявлению двух состояний, когда спины электронов параллельны и антипараллельны. Мультиплетное расщепление $\Delta\varepsilon_{3s}$ пропорционально числу неспаренных 3d-электронов и может быть использовано для качественных оценок спинового состояния иона металла [11]. Так как 1, 2 и 3 содержат две группы неэквивалентных ионов марганца: 4 иона Mn(II) и 2 иона Mn(III), то РФЭС 3s-спектры ионов марганца представляют собой суперпозицию двух дублетов и, следовательно, спектры необходимо разложить на четыре компоненты с отношением интенсивностей 1:2 (см. рис. 3). Мультиплетное расщепление $\Delta\varepsilon_{3s}$ для компонент с меньшей интенсивностью, относящихся к иону Mn(III), составляет 5,3, 4,9 и 5,2 эВ, для компонент с большей интенсивностью, относящихся к иону марганца Mn(II), $\Delta\varepsilon_{3s}$ равно 6,2, 6,5 и 6,4 эВ для комплексов 1, 2 и 3 соответственно. Полученные величины мультиплетного расщепления хорошо согласуются с литературными данными для большого ряда кислородосодержащих соединений марганца: $\Delta\varepsilon_{3s}(\text{Mn(III)}) \sim 5,6$ эВ, $\Delta\varepsilon_{3s}(\text{Mn(II)}) \sim 6,3$ эВ [11, 16]. Таким образом, проведенные в настоящей работе оценки зарядового состояния ионов марганца в изучаемых комплексах показывают наличие двух типов ионов.

Mn^{2p}-спектр представляет собой спин-орбитальный дублет ($2p_{3/2}$ и $2p_{1/2}$), компоненты которого, в свою очередь, расщепляются в результате обменного взаимодействия (см. рис. 3). Энергетическое положение главного максимума РФЭС Mn^{2p}_{3/2}-спектра (641,8—642,1 эВ) соответствует иону Mn(II), наличие высокоэнергетической сателлитной структуры при энергии

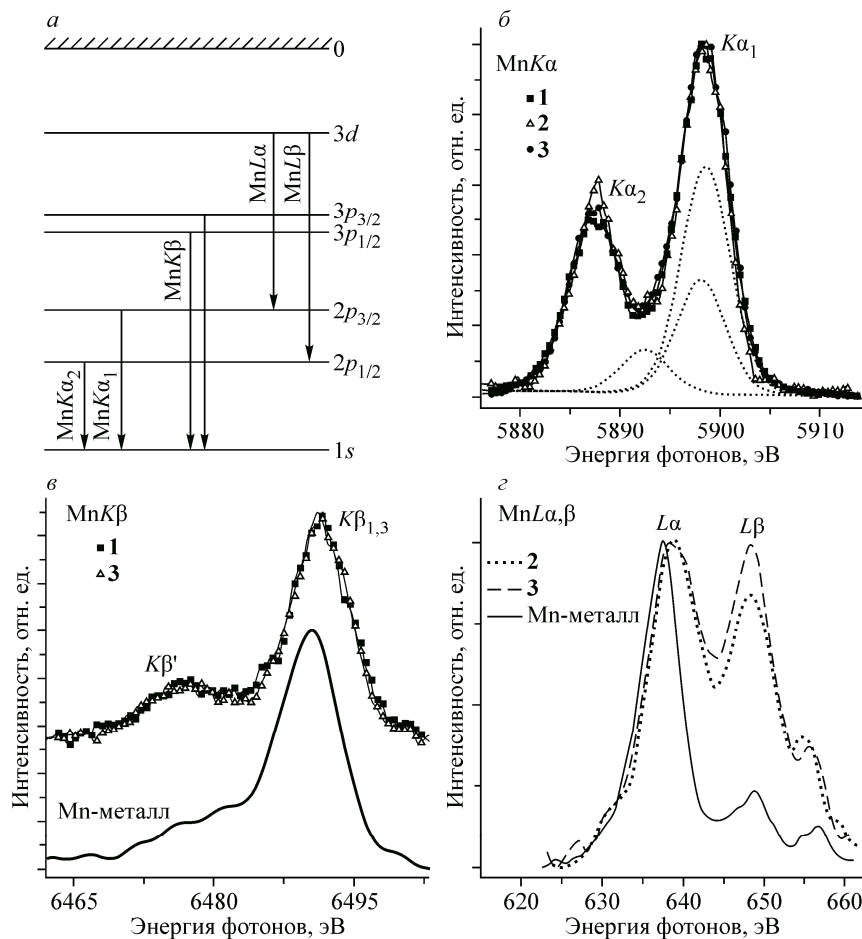


Рис. 4. Схема рентгеновских эмиссионных переходов $\text{MnK}\alpha$, $\text{MnK}\beta$ и $\text{MnL}\alpha,\beta$ (а). Рентгеновские спектры $\text{MnK}\alpha$ (б), $\text{MnK}\beta$ (в) и $\text{MnL}\alpha,\beta$ (г) комплексов 1, 2, 3 и металлического марганца

~646 эВ указывает на обменные взаимодействия, характерные для d^5 -конфигурации [9, 11, 16, 17]. Линия с энергией связи ~643,5 эВ соответствует иону $\text{Mn}(\text{III})$. Следует отметить, что координация изоникотинамида приводит к сдвигу линий РФЭС атомов кислорода и ионов марганца комплексов 2 и 3 на 0,3—0,4 эВ в низкоэнергетическую область по сравнению с комплексом 1 и связана с увеличением электронной плотности на атомах остова $[\text{Mn}_6(\text{O})_2\text{Piv}_{10}]$. Так как спектры РЭС не зависят от подзарядки образцов, для подтверждения степени окисления также были использованы $\text{MnK}\alpha$ -спектры комплексов 1—3.

Рентгеновские эмиссионные спектры. $\text{MnK}\alpha$ -спектры обусловлены переходами электронов с $\text{Mn}2p_{3/2}$ - ($K\alpha_1$) и $\text{Mn}2p_{1/2}$ -уровней ($K\alpha_2$) на уровень $\text{Mn}1s$ (рис. 4, а). Конечное состояние спектра $\text{MnK}\alpha$ с дыркой на $2p$ -уровне совпадает с конечным состоянием РФЭС $\text{Mn}2p$ -спектра, следовательно, структура спектров $\text{MnK}\alpha$ и $\text{Mn}2p$ подобна [17, 18]. $\text{MnK}\beta$ -спектры обусловлены переходами электронов с $\text{Mn}3p_{3/2,1/2}$ -уровней на уровень $\text{Mn}1s$. Спектральные особенности, наблюдавшиеся в $\text{MnK}\alpha$ - и $\text{MnK}\beta$ -спектрах, зависят от степени окисления и спинового состояния иона марганца, а также от его химического окружения. Структура $\text{MnK}\alpha$ -спектра обусловлена спин-орбитальным взаимодействием, а энергетическое положение главного максимума зависит от степени окисления иона марганца. Форма $\text{MnK}\beta$ -спектра, в свою очередь, в основном определяется величиной $3p$ — $3d$ обменных интегралов, зависящих от спинового состояния иона марганца [17, 19, 20]. Спектральные линии $K\beta_{1,3}$ и $K\beta'$, проявляющиеся в спектрах $\text{MnK}\beta$ (см. рис. 4, в), соответствуют разным ориентациям спина $1s$ -электрона иона марган-

ца в начальном состоянии рентгеновского эмиссионного перехода. Следовательно, увеличение интенсивности $K\beta'$ -линии соединений **1** и **3** по сравнению с интенсивностью $K\beta'$ -линии металлического марганца связано с увеличением числа неспаренных электронов на $3d$ -уровнях иона марганца [21]. Спектры $MnK\alpha$ и $MnK\beta$ (см. рис. 4, б, в) комплексов **1**—**3** подобны, что говорит о стабильности не только геометрических параметров остова $[Mn_6(O)_2Piv_{10}]$ изучаемых комплексов, но и об эквивалентности спинового и зарядового состояния ионов марганца.

$Mn\alpha, \beta$ -спектры, обусловленные переходами валентных $3d$ -электронов на внутренние $Mn2p_{3/2,1/2}$ -уровни, являются наиболее чувствительными к химическому окружению и спиновому состоянию ионов марганца [22]. В чистых металлах отношение интегральных интенсивностей $La/L\beta$ определяется переходом Костера—Кронига ($L_2L_3M_{4,5}$), который связан с переходом электрона с $2p_{3/2}$ -уровня на рентгеновскую вакансию $2p_{1/2}$ -уровня (т.е. дырка с $2p_{1/2}$ -уровня переходит на уровень $2p_{3/2}$), при этом возбуждается один из валентных электронов или плазмонное колебание валентных электронов. Следовательно, время жизни дырки на $2p_{1/2}$ -уровне значительно уменьшается и интенсивность La -линии увеличивается по сравнению с $L\beta$ -линией. В диэлектриках вероятность такого перехода значительно меньше. Таким образом относительные интенсивности $La/L\beta$ -спектров соотносятся с физико-химическими свойствами материалов. При сопоставлении $Mn\alpha, \beta$ -спектров комплексов **2** и **3** со спектром металлического марганца видно, что $L\beta$ -линия изучаемых образцов значительно интенсивнее, следовательно, данные соединения являются диэлектриками и представляют собой изолированные фрагменты $[Mn_6(O)_2Piv_{10}]$.

Интенсивность спектров $Mn\alpha, \beta$ и $OK\alpha$ (рис. 5) пропорциональна вкладам $3d$ -АО ионов марганца и $2p$ -АО атомов кислорода в молекулярные орбитали и может быть использована для получения информации о парциальных вкладах $3d$ -АО ионов марганца и $2p$ -АО атомов кислорода в верхние занятые молекулярные орбитали. Спектры $Mn\alpha, \beta$ и $OK\alpha$ комплексов **2** и **3** были построены в единой энергетической шкале энергий связи. Так как конечное состояние $Mn\alpha, \beta$ - и $OK\alpha$ -спектров совпадает с конечным состоянием РФЭС $Mn2p_{3/2,1/2}^-$ и $O1s$ -спектров соответственно, для привязки рентгеновских эмиссионных спектров использовали энергию связи, полученную из РФЭС $Mn2p_{3/2,1/2}^-$ и $O1s$ -спектров комплексов **2** и **3** (см. рис. 5, а). Для комплексов **1**—**3** спектры $Mn\alpha, \beta$ и $OK\alpha$ имеют подобную структуру, что свидетельствует об аналогичном распределении $3d$ -электронов по валентной полосе при замене тетрагидрофурана на молекулу изонитотинамида. В формирование высших занятых молекулярных орбиталей наибольший вклад вносят $3d$ -АО ионов марганца. Длинноволновая структура РЭС $Mn\alpha$ -спектров совпадает с максимумом $OK\alpha$ -спектров и определяется в основном вкладами $2p$ -АО атомов кислорода в молекулярные орбитали, и характеризуют взаимодействие ионов марганца и атомов кислорода лигандов.

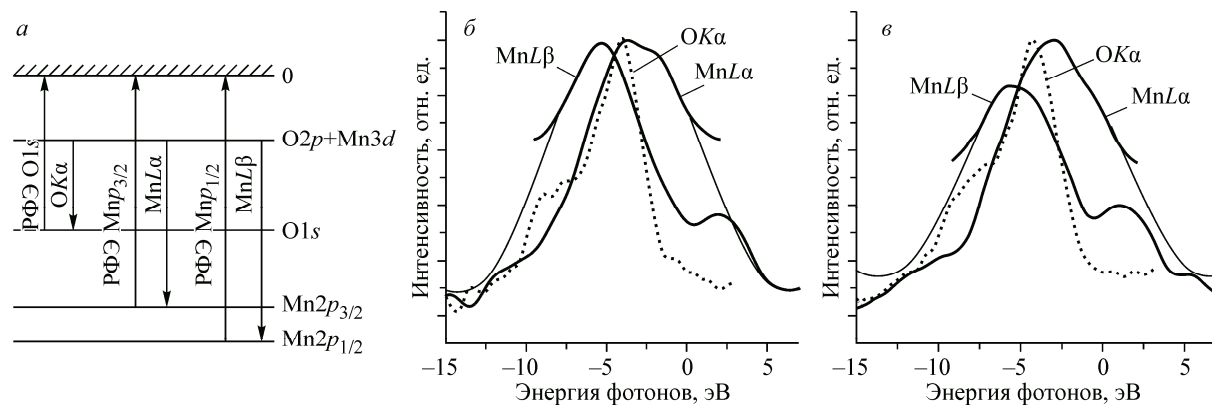


Рис. 5. Схема рентгеновских эмиссионных $Mn\alpha$ -, $Mn\beta$ - и $OK\alpha$ -переходов (а). Рентгеновские спектры $Mn\alpha$ (**1**), $Mn\beta$ (**2**) и $OK\alpha$ (**3**) в единой энергетической шкале для комплексов **2** (б) и **3** (в)

ЗАКЛЮЧЕНИЕ

Изученные комплексы 6-ядерного пивалата марганца обладают схожей электронной структурой ядра $\{\text{Mn}_6\text{O}_2\}$. Замещение тетрагидрофурана на изоникотинамид в изучаемых комплексах и образование полимерной структуры приводит к увеличению электронной плотности на атомах кислорода и ионах марганца, входящих в состав остова $[\text{Mn}_6(\text{O})_2\text{Piv}_{10}]$. $\text{MnK}\alpha,\beta$ -спектры свидетельствуют об одинаковом спиновом состоянии ионов марганца в данных комплексах. Сопоставление $\text{MnL}\alpha,\beta$ -спектров комплексов **2** и **3** показывает определенные различия в структуре высших занятых молекулярных орбиталей.

СПИСОК ЛИТЕРАТУРЫ

1. Sessoli R., Gatteschi D., Caneschi A., Novak M.A. // Nature. – 1993. – **365**. – P. 141 – 143.
2. Sessoli R., Tsai H.L., Schake A.R., Wang S., Vincent J.B., Folting K., Gatteschi D., Christou G., Hendrickson D.N. // J. Am. Chem. Soc. – 1993. – **115**. – P. 1804 – 1816.
3. Stamatatos T.C., Foguet-Albiol D., Perlepes S.P., Raptopoulou C.P., Terzis A., Patrickios C.S., Christou G., Tasiopoulos A.J. // Polyhedron. – 2006. – **25**. – P. 1737 – 1746.
4. Gatteschi D., Sessoli R. // Angew. Chem. Int. Ed. – 2003. – **42**. – P. 268 – 297.
5. Murugesu M., Raftery J., Wernsdorfer W., Christou G., Brechin E.K. // Inorg. Chem. – 2004. – **43**. – P. 4203 – 4209.
6. Фурсова Е.Ю., Овчаренко В.И. // Рос. хим. журн. – 2009. – **LIII**, № 1. – С. 23 – 32.
7. Ovcharenko V., Fursova E., Romanenko G., Ikorskii V. // Inorg. Chem. – 2004. – **43**. – P. 3332 – 3334.
8. Fursova E., Ovcharenko V., Nosova K., Romanenko G., Ikorskii V. // Polyhedron. – 2005. – **24**. – P. 2084 – 2093.
9. Галахов В.Р., Гижевский Б.А., Елохина Л.В., Лошкарева Н.Н., Наумов С.В., Raekers M., Neumann M., Балбашов А.М. // Письма в ЖЭТФ. – 2010. – **91**, № 3. – С. 140 – 144.
10. Иванова Т.М., Щукарев А.В., Наумкин А.В., Сидоров А.А., Кискин М.А., Новоторцев В.М., Еременко И.Л. // Журн. неорган. химии. – 2008. – **53**, № 12. – С. 2061 – 2066.
11. Kochur A.G., Ivanova T.M., Shukarev A.B., Sidarov A.A., Kisikin M.A., Novotorcov B.M., Eremenko I.L. // Izv. RAN. Сер. физ. – 2010. – **74**, № 5. – С. 662 – 667.
12. Фурсова Е.Ю., Овчаренко В.И., Богомяков А.С., Романенко Г.В. // Журн. структур. химии. – 2013. – **54**, N 1. – С. 171 – 174.
13. Shyrley D.A. // Phys. Rev. B. – 1972. – **5**. – P. 4709 – 4714.
14. Юматов В.Д., Окотруб А.В., Мазалов Л.Н., Беликова Г.С., Охрименко Т.М. // Журн. структур. химии. – 1985. – **26**, N 4. – С. 59 – 64.
15. Stevens J.S., Byard S.J., Seaton C.C., Sadiq G., Davey R.J., Schroeder S.L.M. // Phys. Chem. Chem. Phys. – 2014. – **16**. – P. 1150 – 1160.
16. Wertheim G.K., Hufner S., Guggenheim H.J. // Phys. Rev. B. – 1973. – **7**. – P. 556 – 558.
17. de Groot F., Kotani A. Core Level Spectroscopy of Solids. – CRC Press, 2008.
18. Oku M., Matsuta H., Wagatsuma K., Konishi T. // J. Chem. Soc., Faraday Trans. – 1996. – **92**, N 15. – P. 2759 – 2764.
19. Pollock C.J., Delgado-Jaime M.U., Atanasov M., Neese F., DeBeer S. // J. Am. Chem. Soc. – 2014. – **136**. – P. 9453 – 9463.
20. Glatzel P., Bergmann U. // Coord. Chem. Rev. – 2005. – **249**. – P. 65 – 95.
21. Peng G., deGroot F.M.F., Hämäläinen K., Moore J.A., Wang X., Grush M.M., Hastings J.B., Siddons D.P., Armstrong W.H., Mullins O.C., Cramer S.P. // J. Am. Chem. Soc. – 1994. – **116**. – P. 2914 – 2920.
22. Surkova T.P., Galakhov V.R., Kurmaev E.Z. // Low Temp. Phys. – 2009. – **35**. – P. 79 – 82.